



Available online: <http://ijhe.tums.ac.ir>

مقاله پژوهشی



بهینه سازی فرایند $UV/H_2O_2/TiO_2$ در تصفیه تکمیلی پساب بیمارستانی

مهدی هادی^{۱*}، مهری سلیمانی امین آباد^۲، مهناز امیری^۳، معصومه ارجی بور^۴

۱- مرکز تحقیقات کیفیت آب، پژوهشکده محیط زیست، دانشگاه علوم پزشکی تهران، تهران، ایران

۲- گروه مهندسی بهداشت محیط، دانشکده بهداشت، دانشگاه علوم پزشکی کردستان، سنندج، ایران

اطلاعات مقاله:

زمینه و هدف: تصفیه پساب‌های بیمارستانی نقش مهمی در کاهش تخلیه ترکیبات آلی و دارویی به محیط دارد. امروزه فرایندهای اکسیداسیون پیشرفت‌هه برای حذف ترکیبات آلی از پساب‌ها استفاده می‌شوند. در این مطالعه تصفیه مواد آلی باقیمانده در پساب واقعی تصفیه شده بیمارستانی با استفاده از فرایند $UV/H_2O_2/TiO_2$ بررسی و شرایط بهینه تصفیه از نظر هزینه و راندمان با استفاده از روش‌های آماری تحلیل گردید.

روش بررسی: مشخصات اولیه پساب شامل COD، TOC و DOC تعیین و مقادیر متوسط آنها ثبت شد. از فرایند تلفیقی $UV/H_2O_2/TiO_2$ به منظور تصفیه باقیمانده مواد آلی استفاده شد. تعداد آزمایش‌ها با استفاده از روش سطح پاسخ (RSM) تعیین و ارتباط متغیرهای pH، زمان ماند، غلظت H_2O_2 و دی اکسیدتیتانیم با کاهش COD، DOC، TOC و هزینه تقریبی تصفیه با انجام آنالیز واریانس (ANOVA) بررسی گردید.

یافته‌ها: در شرایط بهینه حذف، مقادیر pH ، H_2O_2 و TiO_2 و زمان پرتودهی به ترتیب برابر با ۷/۲، ۱۹/۶۵ min و ۱۰۰ mg/L و ۵۰ mg/L تعیین گردید. بیشترین راندمان حذف ترکیبات آلی با کمترین هزینه، بر حسب COD، TOC و DOC به ترتیب ۶۴/۷ و ۵۲/۹ و ۶۳/۹ درصد تعیین شد.

مقدار هزینه تقریبی تصفیه برابر با ۰/۷۱ دلار به ازای تصفیه هر لیتر پساب برآورد گردید.

نتیجه‌گیری: زمان پرتودهی و غلظت H_2O_2 بیشترین تأثیر را بر روی مقدار هزینه تصفیه دارند. با بهینه‌سازی فرایند به روش RSM بیشترین راندمان با کمترین هزینه تأمین خواهد شد. علیرغم اثربخشی، فرایند مورد استفاده در مقیاس آزمایشگاهی یک فرایند نسبتاً گران برای تصفیه تکمیلی پساب است از این‌رو انجام مطالعات بیشتر به منظور بررسی هزینه-اثربخشی فرایند در مقیاس واقعی توصیه می‌شود.

واژگان کلیدی: بهینه‌سازی فرایند، باقیمانده آلی پساب بیمارستانی، فرایند اکسیداسیون پیشرفت، روش سطح پاسخ

پست الکترونیکی نویسنده مسئول:

hadi_rfm@yahoo.com

مقدمه

در چنین محیطی انتقال ژن‌های مقاوم در برابر آنتی‌بیوتیک‌ها به دلیل بالا بودن بار غذایی و بار میکروبی می‌تواند به خوبی بین گونه‌های مختلف باکتریایی صورت پذیرد (۱۰). دفع کنترل نشده فاضلاب‌های شهری و تا حدودی بیمارستانی در شهرهای مختلف ایران به آب‌های پذیرنده که به عنوان منابع آب آشامیدنی حیوانات و یا منابع آب کشاورزی مورد استفاده قرار می‌گیرند، عامل مهمی است که بر تداوم انتشار گونه‌های باکتریایی مقاوم در برابر آنتی‌بیوتیک‌ها در بین جمعیت‌های انسانی و حیوانات دامن می‌زند. لذا با توجه به این مهم ضروری است که از دفع کنترل نشده این قبیل فاضلاب‌ها و خصوصاً فاضلاب‌های بیمارستانی به آب‌های پذیرنده جلوگیری شود و با احداث سیستم‌های مناسب مورد تصفیه قرار گیرند تا از این طریق چرخه انتقال عوامل مقاوم‌ساز از گونه‌های مقاوم به گونه‌های باکتریایی حساس متوقف گردد. توسعه راهکارهای کنترلی از قبیل تصفیه مجرزای فاضلاب‌های بیمارستانی و شهری، ضمن نظارت بر استفاده از این داروها، می‌تواند در کاهش گونه‌های باکتریایی مقاوم در برابر آنتی‌بیوتیک‌ها و به مراتب بروز مشکلات در درمان عفونت‌های باکتریایی موثر باشد. در واقع فقدان سیستم‌های مناسب برای تصفیه فاضلاب‌های بیمارستانی می‌تواند باعث افزایش گونه‌های باکتریایی مقاوم در برابر آنتی‌بیوتیک‌ها در محیط‌های آبی گردد. از این‌رو ضروری است که فاضلاب‌های بیمارستانی را با استفاده از راهکارهای موثر مورد تصفیه و ضد عفونی قرار داد. امروزه فرایندهای اکسیداسیون پیشرفته در حذف ترکیبات آلی مختلف از آب‌های آشامیدنی و فاضلاب مورد استفاده قرار گرفته است (۱۱-۱۳). از معمول ترین فرایندهای اکسیداسیون پیشرفته می‌توان به استفاده از ازن (O_3)، ازن به همراه پراکسید هیدروژن ($\text{H}_2\text{O}_2/\text{O}_3$) و پراکسید هیدروژن به همراه پرتو فرابنفش ($\text{H}_2\text{O}/\text{UV}$) اشاره کرد. در فرایند اکسیداسیون با پراکسید هیدروژن و پرتودهی فرابنفش در حضور کاتالیست $\text{TiO}_2/\text{UV}/\text{H}_2\text{O}_2$ ، اکسیداسیون مواد در وهله اول توسط رادیکال OH^\cdot صورت می‌پذیرد. رادیکال OH^\cdot به صورت غیرانتخابی با بسیاری از آلاینده‌های آلی واکنش داده و آنها را

برای حفظ بهداشت و سلامتی افراد و نیز جلوگیری از آلودگی محیط جمیع‌آوری و تصفیه فاضلاب‌های تولیدی در هر اجتماع ضروری و اجتناب ناپذیر است (۱). یکی از موارد مورد بحث در تصفیه فاضلاب‌ها حذف آلاینده‌های آلی مختلف از آنها است. بیشتر ترکیبات آلی موجود در فاضلاب‌ها منشا طبیعی داشته و می‌توانند بوسیله باکتری‌های معمول در فرایندهای هوایی یا بی‌هوایی تجزیه شوند. با این وجود در حال حاضر بیش از ۷۰۰۰ ماده شیمیایی آلی صنعتی وجود دارد که اصطلاحاً ترکیبات ساختگی نامیده می‌شوند و متأسفانه بعضی از این ترکیبات آلی بدليل عدم تجزیه بیولوژیکی مشکلات بسیاری ایجاد می‌کنند (۲).

از جمله مواد شیمیایی آلی مصنوعی می‌توان به آفت‌کش‌ها، دترجنت‌ها، حللاً و ترکیبات دارویی خصوصاً آنتی‌بیوتیک‌های مختلف که به طور گسترده در بیمارستان‌ها استفاده می‌شوند اشاره کرد. در این میان ترکیبات دارویی به وفور در بیمارستان‌ها مورد استفاده قرار می‌گیرند که علاوه بر عدم تجزیه پذیری بیولوژیکی از نظر افزایش مقاومت دارویی باکتری‌ها در محیط‌های آبی حائز اهمیت هستند. طی دهه‌های اخیر ترکیبات دارویی آنتی‌بیوتیکی مختلف به طور گسترده‌ای در درمان بیماری‌ها در انسان و حیوانات و همچنین به عنوان تقویت‌کننده‌های رشد در کشاورزی مورد استفاده قرار گرفته‌اند (۳، ۴). افزایش درصد گونه‌های باکتریایی مقام در برابر آنتی‌بیوتیک‌ها در درمان انتخابی عفونت‌های باکتریایی گردد (۵). مهمترین علت بالارفتن میزان مقاومت باکتری‌ها نسبت به آنتی‌بیوتیک‌ها در ایران ناشی از تجویز و استفاده بی‌رویه از آنتی‌بیوتیک‌ها است (۶). بروز مقاومت باکتریایی در محیط‌های زیستی‌آبی نیز در بسیاری از مطالعات مختلف گزارش گردیده است (۷، ۸). از این‌رو بسیاری از محققین، محیط‌های آبی به خصوص فاضلاب را به عنوان دریافت کننده اصلی باکتری‌های روده‌ای، جایگاهی مساعد برای مقاوم شدن بسیاری از باکتری‌ها در مقابل انواع گوناگون آنتی‌بیوتیک‌ها می‌دانند (۹) چرا که

بسیاری از مطالعات به عنوان یک فرایند تصفیه پیشرفته برای حذف مواد آلی استفاده شده است، به طور تقریبی چقدر است.

مواد و روش‌ها

در این مطالعه به عنوان یک مطالعه آزمایشگاهی- کاربردی، پساب بیمارستانی (بیمارستان بعثت شهر سنندج در استان کردستان) در شرایط آزمایشگاهی در معرض فرایند تصفیه پیشرفته قرار داده شد. در ابتدا مشخصات اولیه فاضلاب تعیین گردید که برای این منظور وجهت کاهش خطاها آماری در اندازه‌گیری، مشخصات فاضلاب طی ۱۰ بار نمونه‌برداری COD، TOC، DOC، pH و pH تعیین شد و مقادیر متوسط هر پارامتر قبل از عملیات تصفیه ثبت گردید (جدول ۱). در ادامه از فرایند اکسیداسیون پیشرفته UV/H₂O₂/TiO₂ به منظور حذف ترکیبات آلی در پساب استفاده شد. به منظور انجام آزمایش‌ها از یک سیستم کم فشار تامین کننده نور ماورای بنفش و با میزان دز پرتودهی زمان پرتودهی در محدوده بین ۵۰۰۰ μWs/cm² و طول موج ۲۵۴ nm استفاده شد. مدت زمان میزان شدت نور ماورای بنفش در این مطالعه در دامنه بنابراین میزان شدت نور ماورای بنفش در این مطالعه کافی از فاضلاب خروجی از تصفیه خانه به صورت مرکب ۲۴ ساعته برداشت و جهت انجام آزمایش‌ها به آزمایشگاه انتقال داده شد. آزمایش‌های مربوط به تصفیه پیشرفته UV/H₂O₂/TiO₂ بر روی فاضلاب انجام و مقدار پارامترهای شیمیایی (TOC, DOC و COD) فاضلاب بعد از هر آزمایش مورد اندازه‌گیری قرار گرفت. پارامترهای اندازه‌گیری شده با مشخصات اولیه فاضلاب مقایسه و مقدار راندمان حذف تحت شرایط مختلف تعیین گردید. تعداد آزمایش‌ها در این مطالعه از طریق طراحی آزمایش به روش سطح پاسخ تعیین شد و طی آن تاثیر پارامترهای pH، زمان پرتودهی، غلظت H₂O₂ و دی اکسید تیتانیم به عنوان فاکتورهای مستقل بر کاهش پارامترهای DOC، TOC و COD بررسی گردید. اندازه‌گیری مقدار پارامترهای TOC و DOC با استفاده از آنالایزر Skalar FormacsHT

اکسید می‌کند (۱۴). افزودن H₂O₂ از طریق فتولیز شدن آن در مجاورت نور فرابنفش منجر به تولید رادیکال OH[•] می‌شود. دی اکسید تیتانیم (TiO₂) نیز در حضور نور فرابنفش به عنوان کاتالیزور منجر به افزایش تولید رادیکال OH[•] شده و سرعت اکسید شدن مواد آلی را افزایش می‌دهد.

در مطالعه انجام شده توسط Khan و همکاران (۱۵) از فرایند UV/H₂O₂/TiO₂ به منظور تصفیه پساب واقعی صنایع دارویی استفاده شد. در این مطالعه مقدار حداقل تجزیه فتوکاتالیتیک که بر حسب کاهش COD برآورد گردید برابر با ۴۵/۱۱ درصد تعیین شد. همچنین در این مطالعه بر کارایی بیشتر تلفیق TiO₂ با pH به جای استفاده از TiO₂ به تنهایی تأکید شد. در مطالعه دیگری توسط Elmolla و همکاران (۱۶) از فرایند فتوکاتالیز با استفاده از TiO₂ در حضور H₂O₂ برای تجزیه ترکیبات آنتی بیوتیکی شامل آموکسی‌سیلین، آمپی‌سیلین و کلوساسیلین در محلول‌های آبی استفاده شد. نتایج حاکی از تاثیر قابل توجه pH بر عملکرد فرایند داشت. استفاده از TiO₂ در pH حدود ۵ و دزی معادل ۱/۰ g/L از TiO₂ در تجزیه این مطالعه بر مؤثر بودن فرایند UV/H₂O₂/TiO₂ در تجزیه ترکیبات آنتی بیوتیکی تأکید شده است.

در این مطالعه کارایی فرایند UV/H₂O₂/TiO₂ با استفاده از لامپ فرابنفش با فشار پایین تحت دزهای متفاوت از پراکسید هیدروژن، زمان‌های متفاوت تماس، غلظت‌های متفاوت از TiO₂ و pH‌های مختلف در حذف ترکیبات آلی از پساب فاضلاب بیمارستانی مورد بررسی قرار گرفت. بهینه‌ترین شرایط از نظر زمان پرتودهی، pH، دز پراکسیدهیدروژن و TiO₂ با استفاده از روش‌های آماری مناسب تعیین شد. بعلاوه هر چند این مطالعه در مقیاس آزمایشگاهی انجام شد اما سعی شد مقدار هزینه تصفیه هر واحد حجمی فاضلاب براساس مقدار هزینه مواد مصرفی و انرژی الکتریکی مصرفی به صورت تقریبی برآورد گردد و شرایط عملیاتی فرایند تصفیه از نظر هزینه نیز بهینه‌سازی شود. بدین ترتیب مشخص شد که هزینه تصفیه هر واحد حجمی فاضلاب برای چنین فرایندی با توجه به اینکه در

در معادله فوق $\beta_0, \beta_j, \beta_{jj}$ ضرایب رگرسیونی و k تعداد فاکتورها یا پارامترهای مورد بررسی هستند. X نماینده متغیرهای مستقل شامل زمان پرتودهی، pH , دز TiO_2 و H_2O_2 و Y بیانگر متغیر پاسخ است که می‌تواند یکی از متغیرهای COD , DOC و TOC باشد. کیفیت مدل برآش داده شده بر راندمان حذف رنگزا با استفاده از شاخص‌های ضریب تعیین R^2 و ضریب R^2 اصلاح شده مطابق با معادلات ۲ و ۳ تعیین گردید:

$$R^2 = 1 - \frac{\text{SS}_r}{\text{SS}_m + \text{SS}_r} \quad (2)$$

$$R^2_{\text{adj}} = 1 - \frac{\text{SS}_r/\text{DF}_r}{(\text{SS}_m + \text{SS}_r)/(\text{DF}_m + \text{DF}_r)} \quad (3)$$

در معادله فوق SS_m و SS_r به ترتیب نشان دهنده مجموع مربعات باقیمانده‌ها و مدل هستند. DF_r و DF_m نیز به ترتیب بیانگر درجه آزادی باقیمانده‌ها و مدل هستند. بررسی ارتباط بین متغیرهای مستقل و وابسته از طریق آنالیز واریانس انجام شد. همچنین به منظور بررسی انطباق مدل‌های استخراج شده بر نتایج آزمایشگاهی از ضریب تعیین و برای بررسی مناسب بودن مدل‌ها از آزمون فیشر (F -test) استفاده شد. نتایج پیش‌بینی در قالب معادلات درجه دوم و یا خطی ارائه گردید. همچنین نتایج به صورت گراف‌های دو بعدی و سه بعدی و گراف‌های همپوشان جهت نشان دادن نقاط بپینه ارائه شد.

انجام شد. مقدار پارامتر COD به روش رفلکس بسته مطابق روش استاندارد ۵۲۲۰ اندازه‌گیری شد. با توجه به مشخصات نمونه‌های برداشت شده قبل و بعد از قرار گرفتن در معرض روش حذف در سیستم مورد مطالعه، تجزیه و تحلیل اطلاعات به دست آمده با استفاده از روش آنالیز واریانس در نرم افزار Design Expert 8.0.1 انجام شد.

جدول ۱- مقادیر متوسط مشخصات فاضلاب مورد تصفیه

پارامتر	واحد	مقدار متوسط
pH	-	۷/۵
COD	mg/L	۲۵۰/۵
TOC	mg/L	۱۹/۰۱
DOC	mg/L	۱۱/۴۲

تیمارهای تصفیه به روش کاملاً تصادفی در قالب طرح بپینه D^{optimal} برای چهار متغیر و در سه سطح طراحی شدند. در جدول ۲ متغیرهای مستقل فرایند تصفیه و سطوح آنها مشخص شده‌اند. تعداد آزمایش‌های مورد نیاز براساس طرح آزمایش برابر با ۳۰ تیمار تعیین شد و نتایج تیمارهای انجام شده در جدول ۳ آورده شده‌اند. با توجه به مشخصات نمونه‌های برداشت شده قبل و بعد از قرار گرفتن در معرض روش حذف در سیستم مورد مطالعه، از معادله درجه دوم روش Quadratic (به منظور پیش‌بینی مقدار متغیرهای پاسخ استفاده شد (معادله ۱):

$$Y = \beta_0 + \sum_{j=1}^k \beta_j x_j + \sum_{j=1}^k \beta_{jj} x_j^2 + \sum_{i < j} \sum_{j=2}^k \beta_{ij} x_i x_j + e_i \quad (1)$$

جدول ۲- متغیرهای مستقل در فرایند تصفیه و سطوح آنها

متغیر مستقل	سیمبل	واحد	حد ۱+ واقعی	حد ۱- واقعی	انحراف معیار	میانگین	حداکثر	حداقل
pH	A	-	۱۰	۴	۲/۵۶	۶/۹۶	۱۰	۴
H_2O_2	B	mg/L	۱۵۰	۵۰	۴۳/۸۳	۹۸/۲۱	۱۵۰	۵۰
TiO_2	C	mg/L	۵۰۰	۱۰۰	۱۷۱/۰۹	۳۰۸/۵۲	۵۰۰	۱۰۰
time	D	min	۴۵	۱۰	۱۵/۰۰	۲۷/۵۴	۴۵	۱۰

جدول ۳- نتایج اندازه گیری متغیرهای پاسخ مناسب با شرایط طراحی آزمایش‌ها

Cost	TOC	DOC	COD	A:pH	B:H ₂ O ₂	C:TiO ₂	D:time	تیمار
۱/۵۴	۵/۱	۴/۴۳	۶۴/۳	۴/۰	۵۰	۵۰۰	۴۵	۱
۱/۷۱	۷/۳۶	۶/۱۵	۱۰۰/۶۸	۱۰/۰	۱۵۰	۵۰۰	۴۵	۲
۰/۵۸	۸/۷	۶/۲۱	۹۹/۱	۴/۰	۱۵۰	۱۰۰	۱۰	۳
۱/۶۱	۶/۷۱	۵/۴۴	۷۶/۲۳	۴/۰	۹۲	۱۰۰	۴۵	۴
۱/۰۳	۷/۵۸	۵/۶۳	۸۰/۵۴	۷/۱	۵۰	۳۲۰	۲۹	۵
۱/۵۴	۴/۷۷	۴/۲۳	۵۶/۰۱	۴/۰	۵۰	۵۰۰	۴۵	۶
۱/۱۱	۱۰/۷	۹/۰۲	۱۴۹/۱	۱۰/۰	۹۸	۳۲۰	۲۹	۷
۰/۴۱	۷/۸۴	۶/۵۱	۱۰۲/۹۲	۱۰/۰	۵۰	۱۰۰	۱۰	۸
۱/۷۱	۶/۴۳	۵/۴۳	۹۵/۵۹	۷/۵	۱۵۰	۱۰۰	۴۵	۹
۰/۵۸	۷/۹۸	۶/۲۵	۱۰۳/۷۴	۷/۵	۱۵۰	۵۰۰	۱۰	۱۰
۰/۴۱	۹/۱	۶/۵	۱۱۹/۳	۴/۰	۵۰	۳۱۲	۱۰	۱۱
۱/۱۹	۵/۳۳	۴/۷۴	۶۳/۲۹	۴/۰	۱۵۰	۵۰۰	۲۹	۱۲
۰/۴۱	۱۰/۹۱	۷/۸۶	۱۳۹/۸۳	۱۰/۰	۵۰	۵۰۰	۱۰	۱۳
۱/۱۸	۸/۵۸	۷/۱۷	۱۰۳/۵۴	۱۰/۰	۱۵۰	۱۰۰	۲۹	۱۴
۱/۶۰	۹/۶۵	۸/۲	۱۴۳/۴۵	۵/۷	۹۰	۳۳۲	۴۵	۱۵
۱/۰۰	۵/۸	۴/۲۷	۷۷/۴	۴/۰	۵۰	۱۰۰	۲۸	۱۶
۰/۴۸	۹/۸۶	۷/۱۲	۱۲۳/۱۸	۴/۰	۹۳	۵۰۰	۱۰	۱۷
۱/۵۴	۱۱/۸	۸/۲	۱۳۸/۴	۱۰/۰	۵۰	۵۰۰	۴۵	۱۸
۱/۷۱	۹/۴۷	۷	۱۰۷/۱۱	۴/۰	۱۵۰۰	۳۱۲	۴۵	۱۹
۰/۶۲	۱۲/۲	۱۰/۱	۱۶۱/۸	۶/۵	۱۳۹	۲۷۲	۱۲	۲۰
۱/۱۷	۵/۵۳	۵/۳۶	۸۸/۸۹	۵/۲	۱۳۰	۱۵۲	۲۹	۲۱
۰/۷۳	۵/۱۳	۴/۳۶	۷۱/۶۹	۵/۷	۵۰	۵۰۰	۲۰	۲۲
۱/۵۴	۹/۷۵	۸	۱۴۵/۷۵	۱۰/۰	۵۰	۱۰۰	۴۵	۲۳
۰/۴۹	۹/۶۶	۷/۲۲	۱۱۱/۵۸	۷/۲	۹۷	۱۰۰	۱۰	۲۴
۰/۵۸	۱۲/۱۳	۹/۴۴	۱۴۱/۶۹	۱۰/۰	۱۵۰	۳۱۲	۱۰	۲۵
۱/۰۲	۱۱/۸	۶/۲۲	۹۹/۰۴	۶/۶	۱۰۹	۴۲۴	۲۶	۲۶
۰/۴۱	۱۰/۶۲	۷/۹۵	۱۵۵/۰۶	۱۰/۰	۵۰	۵۰۰	۱۰	۲۷
۰/۵۸	۸/۷۸	۶/۱۷	۴۰۶/۱۴	۴/۰	۱۵۰	۱۰۰	۱۰	۲۸
۱/۷۱	۸/۱۵	۶/۱۷	۹۰/۹۵	۱۰/۰	۱۵۰	۵۰۰	۴۵	۲۹
۱/۵۴	۹/۷۴	۸/۴۳	۱۴۴/۶۲	۱۰/۰	۵۰	۱۰۰	۴۵	۳۰

واریانس پرکاربردترین تکنیک به منظور تفسیر نتایج آماری است (۱۷، ۱۸). با انجام آنالیز رگرسیونی، مدل چند جمله‌ای درجه دوم برای پیش‌بینی مقدار هر یک از متغیرهای وابسته به دست آمد. برازش داده‌های به دست آمده برای تعیین مقدار هر یک از متغیرهای پاسخ براساس مدل چندجمله‌ای درجه دوم صورت گرفت و سپس با استفاده از جدول آنالیز واریانس (ANOVA) معنی‌دار بودن اثرات خطی، درجه دوم و مضربی متغیرهای مستقل بر هر متغیر پاسخ در سطح خطای ۰/۰۵ بررسی گردید. مطابق جداول ۵ تا ۸، مدل‌های پیشنهادی می‌توانند برای پیش‌بینی مقدار پارامترهای DOC، TOC و COD و هزینه (Cost) استفاده شوند.

جدول ۴- قیمت تجاری اقلام مصرفی

واحد	اقلام	قیمت (دلار)
L	پراکسید هیدروژن	۰/۵۶
kg	هیدروکسید سدیم	۰/۲۲
L	اسید کلریدریک	۰/۳۴
kg	دی اکسید تیتانیم	۲/۲
kW·h	برق مصرفی*	۰/۰۲

* نرخ تقریبی هر کیلووات برق در ساعت اوج بار

در این مطالعه بهینه‌سازی فرایند تصفیه از نظر هزینه نیز با در نظر گرفتن هزینه مواد مصرفی مطابق جدول ۴ که براساس قیمت‌های تجاری اقلام مصرفی در سال‌های اخیر است انجام شد. برآورد هزینه تصفیه فاضلاب مورد مطالعه با در نظر گرفتن مقدار هر یک از مواد مصرفی و هزینه تقریبی آنها و همچنین هزینه برق مصرفی برای تامین نور فرابنفش برای هر یک از تیمارها انجام شد. مقدار کیلووات ساعت برق مصرفی در این مطالعه با احتساب مساحت $0/074 \text{ m}^2$ برای لامپ مورد استفاده و میزان ذر پرتودهی $5000 \mu\text{Ws/cm}^2$ برابر با $133/5 \text{ kW}\cdot\text{h}$ برآورد گردید. مقدار حجم اسید و باز مصرفی نیز با انجام تیتراسیون و ثبت مقدار تغییرات pH در مقابل حجم اسید یا باز مصرفی و سپس درون پایی مقدار حجم اسید یا باز با توجه به مقدار pH تعیین گردید. بدین ترتیب متغیر دیگری تحت عنوان هزینه تصفیه نیز علاوه بر متغیرهای COD، TOC و DOC به عنوان متغیر پاسخ در نظر گرفته شد.

یافته‌ها

آنالیز واریانس (ANOVA) برای ارزیابی اثرات معنی‌دار متغیرهای مستقل بر روی متغیرهای پاسخ انجام شد. آنالیز

جدول ۵- ضرایب مدل رگرسیون و نتایج آنالیز واریانس برای متغیر پاسخ TOC

p	MS	df	SS	Source
<0/0001	103/61	9	11/54	Model
<0/0001	46/18	1	46/18	A-pH
0/4539	0/25	1	0/25	B-H ₂ O ₂
0/5040	0/20	1	0/20	C-TiO ₂
<0/0001	10/94	1	10/94	D-time
0/0412	2/14	1	2/14	AB
0/0026	5/57	1	5/57	BD
0/0051	4/61	1	4/61	B ²
<0/0001	15/84	1	15/84	C ²
<0/0001	18/11	1	18/11	D ²

جدول ۶- ضرایب مدل رگرسیون و نتایج آنالیز واریانس برای متغیر پاسخ DOC

p	MS	df	SS	Source
<0.0001	6/42	9	57/85	Model
<0.0001	28/98	1	28/98	A-pH
0.2058	0/42	1	0/42	B-H ₂ O ₂
0.2493	0/35	1	0/35	C-TiO ₂
0.0129	0/95	1	0/95	D-time
0.0506	1/10	1	1/10	AB
0.0007	4/42	1	4/42	BD
0.0012	3/91	1	3/91	B ²
<0.0001	10/31	1	10/31	C ²
<0.0001	6/99	1	6/99	D ²

جدول ۷- ضرایب مدل رگرسیون و نتایج آنالیز واریانس برای متغیر پاسخ COD

p	MS	df	SS	Source
<0.0001	2004/29	9	18038/63	Model
<0.0001	8424/03	1	8424/03	A-pH
0.6333	48/74	1	48/74	B-H ₂ O ₂
0.2424	304/53	1	304/53	C-TiO ₂
0.0367	1080/93	1	1080/93	D-time
0.0536	901/58	1	901/58	BD
0.0708	777/24	1	777/24	CD
0.0520	915/66	1	915/66	B ²
0.0027	2636/79	1	2636/79	C ²
0.0010	3446/33	1	3446/33	D ²

جدول ۸- ضرایب مدل رگرسیون و نتایج آنالیز واریانس برای متغیر هزینه (cost)

p	MS	df	SS	Source
<0.0001	1/649978	4	1/599913	Model
<0.0001	1/04e-10	1	1/04e-10	A-pH
<0.0001	1/162658	1	1/162658	B-H ₂ O ₂
<0.0001	3/98e-06	1	3/98e-06	C-TiO ₂
<0.0001	6/488228	1	6/488228	D-time

جدول ۹- روابط پیشنهادی برای پیش بینی مقدار متغیرهای پاسخ

متغیر پاسخ	رابطه رگرسیونی
کل کربن آلی (TOC)	$\text{TOC} = -1.96 + (0.80 \times \text{pH}) + (0.13 \times \text{H}_2\text{O}_2) + (0.030 \times \text{TiO}_2) - (0.31 \times \text{time}) - (2.40E-003 \times \text{pH} \times \text{H}_2\text{O}_2) - (2.83E-005 \times \text{H}_2\text{O}_2 \times \text{TiO}_2) - (6.61E-004 \times \text{H}_2\text{O}_2 \times \text{time}) - (4.35E-004 \times \text{H}_2\text{O}_2^2) - (4.76E-005 \times \text{TiO}_2^2) + (6.19E-003 \times \text{time}^2)$
کربن آلی محلول (DOC)	$\text{DOC} = -2.32 + (0.61 \times \text{pH}) + (0.11 \times \text{H}_2\text{O}_2) + (0.02 \times \text{TiO}_2) - (0.17 \times \text{time}) - (1.80E-003 \times \text{pH} \times \text{H}_2\text{O}_2) - (6.11E-004 \times \text{H}_2\text{O}_2 \times \text{time}) - (3.91E-004 \times \text{H}_2\text{O}_2^2) - (3.81E-005 \times \text{TiO}_2^2) + (3.88E-003 \times \text{time}^2)$
تقاضای شیمیایی اکسیژن (COD)	$\text{COD} = -3.31 + (7.38 \times \text{pH}) + (1.41 \times \text{H}_2\text{O}_2) + (0.40 \times \text{TiO}_2) - (3.65 \times \text{time}) - (8.73E-003 \times \text{H}_2\text{O}_2 \times \text{time}) - (2.03E-003 \times \text{TiO}_2 \times \text{time}) - (6.03E-003 \times \text{H}_2\text{O}_2^2) - (6.08697E-004 \times \text{TiO}_2^2) + (0.085921 \times \text{time}^2)$
هزینه تصفیه هر لیتر فاضلاب	$\text{Cost} = +8.210E-006 - (7.89E-007 \times \text{pH}) + (1.70E-003 \times \text{H}_2\text{O}_2) + (2.20E-006 \times \text{TiO}_2) + (0.032 \times \text{time})$

بین مقادیر حداقل و حداکثر برای به حداقل رساندن مقدار هر یک از متغیرهای پاسخ انجام شد. به عبارت دیگر در این مرحله سعی شد با استفاده از مدل های به دست آمده بهترین شرایط عملیاتی فرایند تصفیه به نحوی که مقدار هر یک از پارامترهای COD، TOC، DOC تا حداقل ممکن کاهش یابند شبیه سازی شود و در عین حال هزینه تصفیه هر واحد حجمی فاضلاب به حداقل ممکن برسد. در جدول ۱۱ نتایج مرحله شبیه سازی شرایط بهینه تصفیه از نظر اقتصادی و عملیاتی آورده شده است.

در جدول ۹ روابط رگرسیونی استخراج شده برای محاسبه مقدار هر یک از متغیرهای پاسخ آورده شده است. با آگاهی از مقدار متغیرهای مستقل می توان به کمک این روابط خطی، مقدار هر یک از متغیرهای پاسخ را پیش بینی نمود. بعد از استخراج مدل های پیش بینی کننده برای هر یک از متغیرهای پاسخ، از طریق شبیه سازی شرایط عملیاتی از نظر مقدار متغیرهای مستقل، می توان بهینه ترین شرایط فرایندی از نقطه نظر هزینه با بیشترین عملکرد تصفیه را پیش بینی کرد. در این مطالعه مطابق جدول ۱۰ شبیه سازی شرایط عملیاتی تصفیه با تغییر هر یک از متغیرهای مستقل در محدوده

جدول ۱۰- تعریف دامنه متغیرهای مستقل و وابسته برای پیدا کردن نقطه بهینه تصفیه

متغیر	واحد	حد بالا	حد پایین	هدف بهینه
A:pH	-	۱۰	۴	بین دامنه باشد
B: H_2O_2	mg/L	۱۵۰	۵۰	بین دامنه باشد
C: TiO_2	mg/L	۵۰۰	۱۰۰	بین دامنه باشد
D:time	min	۴۵	۱۰	بین دامنه باشد
TOC	mg/L	۱۲/۲	۴/۷۷	حداقل شود
DOC	mg/L	۱۰/۱	۴/۲۳	حداقل شود
COD	mg/L	۱۶۱/۶	۵۶/۰/۱	حداقل شود
Cost	\$/L	۱/۷۰۶	۰/۴۰۷	حداقل شود

مستقل بر روی تغييرات متغيرهای پاسخ را به خوبی بررسی کرد. بررسی تاثير غلظت پراکسیدهيدروژن بر روی مقدار DOC، TOC و COD در شرایطی که زمان پرتودهی در نقطه مرکزی TiO_2 در نقطه مرکزی ۲۷/۵ min، غلظت H_2O_2 ۵۰ mg/L در نقطه مرکزی ۷ ثابت نگهداشته شد، COD داد که بيشترین ميزان حذف TOC، DOC و COD در مقدار غلظت H_2O_2 ۵۰ mg/L است. همچنان بررسی تاثير TiO_2 بر روی مقدار DOC، TOC و COD در شرایطی که زمان پرتودهی در نقطه مرکزی (۲۷/۵ min) و غلظت H_2O_2 در نقطه مرکزی ۱۰۰ mg/L برابر مقدار ثابت ۷ نگهداشته شد، نشان داد که در مقادير كمتر از ۱۰۰ و بالاتر از mg/L ۵۰۰، مقدار پارامترهاي TiO_2 ، TOC، DOC و COD کاهش می‌يابند که البته اين اثر در مقادير پاييسن تراز ۱۰۰ mg/L مشهودتر بود. در اين مطالعه مقدار H_2O_2 ۱۰۰ mg/L را بيشترین راندمان حذف TOC، DOC و COD را تامين نمود. همچنان بررسی تاثير pH نشان داد که با کاهش pH ، مقادير راندمان حذف TOC، DOC و COD به طور قابل توجهی افزایش می‌يابند. با افزایش زمان پرتودهی مقادير راندمان حذف پارامترهاي TiO_2 ، TOC، DOC و COD به طور قابل توجهی افزایش يافته تا جایي که در زمان پرتودهی در حدود ۳۰ min بيشترین راندمان حذف تامين شد. لذا در اين مطالعه بهترین زمان پرتودهی (بدون لحاظ کردن بررسی اقتصادي) در حدود ۳۰ min تعیين گردید.

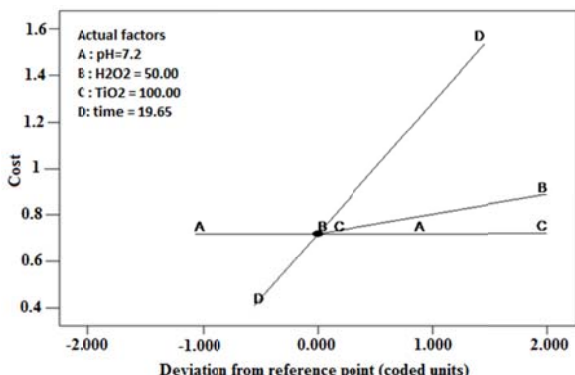
يکی از کاربردهای اصلی روش سطح پاسخ، بهينه‌سازی متغيرهای فرایيندي است. بهينه‌سازی متغيرها به گونه‌ای صورت می‌گيرد که متغير پاسخ در ايده‌آل ترین وضعیت ممکن قرار گيرد. در اين تحقیق يافتن pH بهینه (در دامنه ۴ تا ۱۰)، غلظت بهینه H_2O_2 (در دامنه ۵۰ تا ۱۵۰ mg/L)، غلظت بهینه TiO_2 (در دامنه ۱۰۰ تا ۵۰۰ mg/L) و زمان بهینه پرتودهی (در دامنه ۱۰ تا ۴۵ min) به گونه‌ای که بيشترین حذف ممکن برای پارامترهاي TOC، DOC و COD تامين شود، مدنظر بود. متغير پاسخ مهم دیگر که در اين مطالعه لحاظ گردید متغير هزينه بود که مقدار حداقل هزينه به عنوان هدف منظور شد.

جدول ۱۱- مقادير متغيرهای مستقل و پاسخ در نقطه بهينه تصفييه از نظر اقتصادي و عملياتي

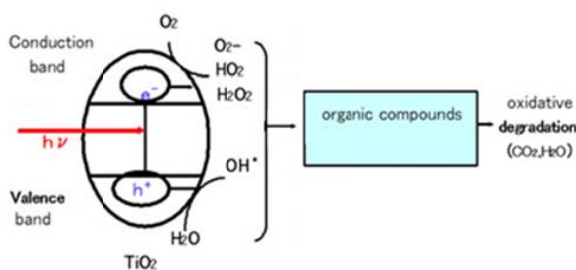
نوع متغير	نام متغير	مقدار
مستقل	pH	۷/۲
	H_2O_2	۵۰
	TiO_2	۱۰۰
	time	۱۹/۶۵
وابسته	TOC	۶/۸۵
	DOC	۵/۳۸
	COD	۸۸/۴۳
	Cost	۰/۷۱

بحث

در جداول ۵ تا ۸ نتایج آنالیز واریانس برای هر يك از متغيرهای پاسخ آورده شده است. برای بررسی خوب بودن انطباق مدل‌ها بر نتایج آزمایشگاهی از ضریب تبیین (R^2) استفاده گردید. ضریب تبیین عبارت است از نسبت مجموع مربعات تشریح شده به مجموع مربعات کل و مقدار عددی آن بین صفر و يك تغیير می‌کند. R^2 مساوی يك به مفهوم تبیین تمامی واریانس متغير پاسخ توسط متغيرهای پيشگو و R^2 مساوی صفر به مفهوم برآورد کاملاً اشتباہ مدل است. برای آنکه يك مدل توانایي خوبی برای تبیین واریانس متغير پاسخ داشته باشد لازم است که R^2 مدل بالای ۰/۸ باشد. در اين تحقیق مقادير ضریب تبیین برای مدل‌های پيش‌بینی کننده TOC، DOC، COD و Cost (هزينه) به ترتیب برابر با ۰/۹۵، ۰/۹۴، ۰/۸۵ و ۰/۹۷ می‌گردند. اين مقادير حاکی از توانایي خوب مدل‌های ارائه شده برای پيش‌بینی متغيرهای پاسخ هستند. نتایج جدول ۵ نشان می‌دهد که اثر خطی پراکسیدهيدروژن و TiO_2 بر روی مقدار TOC در سطح ۰/۰۵ معنی‌دار نیست. اما اثر درجه دوم آنها بر روی مقدار TOC معنی‌دار است ($p < 0/001$). همچنان نتایج حاکی از معنی‌دار بودن اثر متقابل H_2O_2 و pH و اثر متقابل TiO_2 و H_2O_2 بر مقدار TOC است ($p < 0/05$). به کمک مدل‌های ايجاد شده می‌توان تاثير هر يك از متغيرهای



نمودار ۱- نمودار انحراف برای ۴ متغیر مستقل در نقطه بهینه از نظر هزینه



شکل ۱- مکانیزم کاتالیزوری TiO_2 در حضور نور UV

تاثیر افزودن مواد اکسید کننده قوی مانند پراکسیدهیدروژن به سوسپانسیون TiO_2 به خوبی شناخته شده است و در بسیاری از مطالعات مختلف در افزایش سرعت تجزیه فتوکاتالیزوری مواد مورد مطالعه موثر بوده است (۲۰، ۱۹). مطابق شکل ۱ در فرایند اکسیداسیون پیشرفتی در حضور دی اکسید تیتانیم معدنی سازی طیف وسیعی از مواد آلی صورت می گیرد (۲۱). مطابق شکل ۱ زمانی که فوتون نور فرایندها به سطح کاتالیزور (TiO_2) بخورد کند در این حالت یک الکترون از باند والانس به باند انتقالی حرکت کرده که حاصل آن ایجاد یک حفره الکترونی (h^+) است (۲۲). h^+ می تواند به طور مستقیم طیف وسیعی از آلاینده های جذب شده بر روی سطح کاتالیزور را اکسید کند و یا منجر به تولید رادیکال های هیدروکسیل (OH⁻) شود که قادر خواهد بود به طور غیرانتخابی مواد آلی را اکسید نمایند. الکترون برانگیخته شده بر روی سطح

براساس جدول ۱۰ که نشان دهنده شرایط بهینه سازی فرایند است، ایده آل ترین نقاط بهینه برای متغیرهای مستقل به منظور حذف ترکیبات آلی از فاضلاب بیمارستانی در این مطالعه، مقدار pH برابر با $7/2$, H_2O_2 برابر با 50 mg/L, TiO_2 برابر با 100 mg/L و زمان پرتوودهی برابر با $19/65$ min تعیین گردید. چنانچه شرایط مذکور در فرایند لحاظ شود بیشترین راندمان حذف ترکیبات آلی با کمترین هزینه ممکن فراهم خواهد شد. در این حالت مطابق جدول ۱۱ باقیمانده مواد آلی در پساب بر حسب COD, TOC و DOC به ترتیب از مقادیر $5/38$, $6/85$ و $25/05$ mg/L, $11/42$, $19/01$ و $88/4$ mg/L کاهش یافت. به عبارتی در نقطه بهینه، میزان راندمان حذف مواد آلی بر حسب سه پارامتر مذکور به ترتیب $52/9$, $63/9$ و $64/7$ درصد تعیین گردید. در نقطه بهینه تصفیه که هدف از آن رسیدن به حداکثر حذف مواد آلی و در عین حال انجام عملیات تصفیه با کمترین هزینه است، مقدار هزینه تصفیه به ازای هر لیتر از فاضلاب برابر با $71/0$ دلار برآورد شد. به عبارت دیگر هزینه تصفیه هر متر مکعب از فاضلاب مورد مطالعه برابر با 710 دلار خواهد بود که هزینه بالایی است. در شکل ۱ نمودار انحراف برای ۴ متغیر مستقل در نقطه بهینه از نظر هزینه نشان داده شده است. با توجه به بالا بودن ضریب متغیر زمان در مدل پیشنهادی برای هزینه در جدول ۹ و همچنین نمودار ۱ به خوبی مشخص است که هزینه تصفیه تکمیلی با استفاده از این فرایند، بیش از هر متغیر دیگری متاثر از زمان پرتوودهی و به تبع آن انرژی الکتریکی مصرفی است که توجیه پذیر بودن این فرایند را تحت قرار خواهد داد. بعد از متغیر زمان پرتوودهی، متغیر دیگری که می تواند در نوسانات هزینه تصفیه نقش مهمی داشته باشد مقدار پراکسیدهیدروژن مصرفی است. تاثیر متغیرهای TiO_2 pH و غلظت TiO_2 بر هزینه تصفیه پساب مورد مطالعه در مقایسه با زمان پرتوودهی و غلظت پراکسیدهیدروژن، کمتر قابل توجه است. مطلوبیت مدل های ارائه شده در پیش بینی نقطه بهینه تصفیه برابر با $77/0$ درصد برآورد گردید که مقدار قابل قبولی است.

با کاهش مقدار pH، ميزان راندمان حذف ترکيبات آلى افزایش یافت به نحوی که در pH ۴ بيشترین ميزان حذف ترکيبات آلى حاصل شد. در اين خصوص بايستى توجه داشت که تامين pHهای پایین از نظر عملياتی به دليل تاثير خورندگی آن (بر تاسيسات) مقدور نیست لذا ضروري است تا فرایند تصفیه در محدوده pHهای بالاتر و نزدیک به خنثی بهينه‌سازی شود.

نتیجه‌گیری

نتایج این تحقیق نشان داد که زمان پرتودهی بیشترین تاثیر را بر روی مقدار هزینه تصفیه تكمیلی فاضلاب بیمارستانی دارد. با این وجود می‌توان با کنترل شرایط تصفیه و بهینه‌سازی فرایند به روش RSM به شرایطی دست یافت که بیشترین راندمان حذف مواد آلى با کمترین هزینه ممکن تامين شود. در این مطالعه نقطه بهینه نقطه‌ای بود که بیشترین راندمان برای حذف مواد آلى با کمترین هزینه ممکن تامين شود. مقدار pH برابر با $\frac{H_2O_2}{TiO_2}$ ، ۵۰ mg/L برابر با $\frac{H_2O_2}{TiO_2}$ ، ۱۹/۶۵ min برابر با ۱۰۰ mg/L و زمان پرتودهی برابر با ۷/۲ min به عنوان شرایط بهینه عملياتی برآورد شد. با تامين شرایط بهینه عملياتی مقدار هزینه تصفیه هر متر مکعب از پساب مورد مطالعه برابر با ۲۱۰ دلار تخمین زده شد که این هزینه علیرغم تاثیر قابل توجه فرایند در حذف باقیمانده مواد آلى در پساب بیمارستانی، بیانگر گران بودن هزینه تصفیه تكمیلی پساب با فرایند $UV/H_2O_2/TiO_2$ است. از اين‌رو به نظر مى‌رسد استفاده از چنین فرایندهایي بایستى با احتياط بيشتر و با تاكيد بر انجام مطالعات هزینه- اثربخشی دقیق صورت پذيرد. در اين مطالعه همچنان با استفاده از روش آماري RSM بهينه‌سازی فرایند از نظر عملياتی و اقتصادي به نحو قابل قبولی امكان پذير گردید. بدیهی است چنانچه از فرایند $UV/H_2O_2/TiO_2$ صرف‌نظر از گران بودن آن، استفاده شود، بهينه‌سازی فرایند با استفاده از متدولوزی ارائه شده در اين مطالعه می‌تواند از اتلاف هزینه در استفاده از مواد شيميايی و همچنان ابرزی جلوگيري کند.

کاتالیزور (E_{cb}) توسط مولکول اکسیژن جذب شده و منجر به تولید یون‌های سوبر اکسید (O_2^-) می‌شود. بنابراین از اين طریق مانع برگشت الکترون به حفره الکترونی و از بین رفتن حفره الکترونی می‌شود و باعث تسريع واکنش تجزیه مواد آلى می‌گردد (۲۳).

افرودن H_2O_2 به سیستم فتوکاتالیتیک باعث افزایش ميزان تجزیه مواد آلى می‌گردد چرا که H_2O_2 منجر به تشکیل رادیکال‌های OH^{\cdot} از طریق جذب مستقیم پرتوی نوری و جذب الکترون از باند انتقالی می‌شود (۲۴). روابط زیر واکنش‌های مختلفی را که می‌توانند طی فرایند فتوکاتالیستی تجزیه آلاینده‌های آلى رخ دهنند نشان می‌دهند. طبق اين روابط محصول نهايی اين واکنش‌ها رادیکال هيدروکسیل (OH⁻) است که نقش اصلی را در اکسید کردن ماده آلى ايفا می‌کند. در استفاده از H_2O_2 به عنوان يك اسکاونجر (Scavenger) الکترونی بايستى توجه داشت که چنانچه اين ماده بيشتر از حد بهينه يا مورد نياز در سیستم وجود داشته باشد می‌تواند با محصولات بینابيني (Intermidants) فرایند فتوکاتالیزوري وارد واکنش شده و باعث کاهش سرعت و ميزان تجزیه مواد داشته باشد اين ماده به عنوان يك اسکاونجر برای رادیکال‌های TiO_2 هيدروکسیل عمل می‌کند و يا اينکه می‌تواند مستقیماً با H_2O_2 اضافی در سیستم وجود آلى گردد. در صورتی که H_2O_2 اضافی در سیستم وجود داشته باشد اين ماده به عنوان يك اسکاونجر برای رادیکال‌های TiO_2 هيدروکسیل عمل می‌کند و يا اينکه می‌تواند مستقیماً با H_2O_2 اضافی شده و تولید ترکيبات پراکسى نماید که در هر دو حالت منجر به کاهش كارابي فرایند می‌گردد. علاوه بر اين H_2O_2 اضافی می‌تواند با مواد آلى بر سر واکنش دادن با حفرات الکترونی روی سطح TiO_2 رقابت کند (۲۵، ۲۶). بنابراین برای جلوگیری از اثرات منفي پراکسى هيدروژن بر فرایند، همواره بايستى مقدار اين ماده در سیستم در حد بهينه خود حفظ شود تا حداکثر اثر را بر تصفیه مواد آلى داشته باشد. در اين مطالعه افزایش مقدار پراکسیدهيدروژن از ۵۰ تا نزديک به ۱۰۰ mg/L باعث افزایش ميزان راندمان حذف ترکيبات آلى گردید اما از محدوده ۱۰۰ mg/L به بالا راندمان حذف کاهش یافت. اين مسئله می‌تواند به دليل نقش اسکاونجری پراکسىدهيدروژن باشد.

تشکر و قدردانی

این مقاله از طرح تحقیقاتی مصوب که با حمایت مالی دانشگاه علوم پزشکی کردستان به انجام رسیده است، استخراج شد. از این دانشگاه به دلیل فراهم نمودن تسهیلات لازم برای انجام این پژوهش تشکر می‌گردد.

ملاحظات اخلاقی

نویسندگان کلیه نکات اخلاقی شامل عدم سرفتادی، انتشار دوگانه، تحریف داده‌ها و داده‌سازی را در این مقاله رعایت کرده‌اند.

References

- Gomez M, De la Rua A, Garralon G, Plaza F, Hontoria E, Gómez M. Urban wastewater disinfection by filtration technologies. *Desalination*. 2006;190(1):16-28.
- Liao C-H, Lu M-C, Su S-H. Role of cupric ions in the $\text{H}_2\text{O}_2/\text{UV}$ oxidation of humic acids. *Chemosphere*. 2001;44(5):913-19.
- Khachatourians GG. Agricultural use of antibiotics and the evolution and transfer of antibiotic-resistant bacteria. *Canadian Medical Association Journal*. 1998;159(9):1129-36.
- Kruse H, Sørum H. Transfer of multiple drug resistance plasmids between bacteria of diverse origins in natural microenvironments. *Applied and Environmental Microbiology*. 1994;60(11):4015-21.
- Macauley JJ, Qiang Z, Adams CD, Surampalli R, Mormile MR. Disinfection of swine wastewater using chlorine, ultraviolet light and ozone. *Water Research*. 2006;40(10):2017-26.
- Nikkhah J, Mehr-Movahed A. Antibiotic resistance of *Shigella* species in Iran. *Iranian Journal of Public Health*. 1987;16(1-4):111-16.
- Talebi M, Rahimi F, Katouli M, Kühn I, Möllby R, Eshraghi S, et al. Prevalence and antimicrobial resistance of enterococcal species in sewage treatment plants in Iran. *Water, Air, and Soil Pollution*. 2007;185(1-4):111-19.
- Watkinson A, Micalizzi G, Graham G, Bates J, Costanzo S. Antibiotic-resistant *Escherichia coli* in wastewaters, surface waters, and oysters from an urban riverine system. *Applied and Environmental Microbiology*. 2007;73(17):5667-70.
- Selvaratnam S, Kunberger JD. Increased frequency of drug-resistant bacteria and fecal coliforms in an Indiana Creek adjacent to farmland amended with treated sludge. *Canadian Journal of Microbiology*. 2004;50(8):653-56.
- Vilanova X, Manero A, Cerdà-Cuéllar M, Blanch A. The composition and persistence of faecal coliforms and enterococcal populations in sewage treatment plants. *Journal of Applied Microbiology*. 2004;96(2):279-88.
- Huber MM, Canonica S, Park G-Y, Von Gunten U. Oxidation of pharmaceuticals during ozonation and advanced oxidation processes. *Environmental Science & Technology*. 2003;37(5):1016-24.
- Snyder SA, Wert EC, Rexing DJ, Zegers RE, Drury DD. Ozone oxidation of endocrine disruptors and pharmaceuticals in surface water and wastewater. *Ozone: Science and Engineering*. 2006;28(6):445-60.
- Hashemi H, Sadeghi M, Amin M. Evaluating the performance of clarification and ultraviolet units in disinfection of Isfahan North waste water treatment plant (WWTP) effluent in pilot plant. *Journal of Shahrekord University of Medical Sciences*. 2010;12(3):77-84 (in Persian).
- Buxton GV, Greenstock CL, Helman WP, Ross AB. Critical review of rate constants for reactions of hydrated electrons, hydrogen atoms and hydroxyl radicals ($\cdot\text{OH}/\cdot\text{O}^-$) in aqueous solution. *Journal of Physical and Chemical Reference Data*. 1988;17(2):513-886.
- Khan WZ, Najeeb I, Ishtiaque S, Jabeen S. Photodegradation of real pharmaceutical wastewater with titanium dioxide, zinc oxide, and hydrogen peroxide during UV. *IOSR Journal of Engineering*. 2016;6(7):36-46.
- Elmolla ES, Chaudhuri M. Photocatalytic degradation of amoxicillin, ampicillin and cloxacil-

- lin antibiotics in aqueous solution using UV/TiO₂ and UV/H₂O₂/TiO₂ photocatalysis. Desalination. 2010;252(1):46-52.
17. Montgomery DC. *Design and Analysis of Experiments*. New York: Wiley; 2008.
18. Behnajady MA, Modirshahla N, Hamzavi R. Kinetic study on photocatalytic degradation of C.I. Acid Yellow 23 by ZnO photocatalyst. *Journal of Hazardous Materials*. 2006;133(1-3):226-32.
19. Sioi M, Bolosis A, Kostopoulou E, Poulios I. Photocatalytic treatment of colored wastewater from medical laboratories: photocatalytic oxidation of hematoxylin. *Journal of Photochemistry and Photobiology A: Chemistry*. 2006;184(1):18-25.
20. Wolfrum E, Ollis D. Hydrogen peroxide in heterogeneous photocatalysis. In: Helz GR, Crosby DG, editors. *Aquatic and surface photochemistry*. Boca Raton: CRC-Press; 1994.
21. Ahmed S, Rasul M, Martens WN, Brown R, Hashib M. Heterogeneous photocatalytic degradation of phenols in wastewater: a review on current status and developments. *Desalination*. 2010;261(1):3-18.
22. Kansal S, Singh M, Sud D. Effluent quality at kraft/soda agro-based paper mills and its treatment using a heterogeneous photocatalytic system. *Desalination*. 2008;228(1):183-90.
23. Al-Rasheed RA. Water treatment by heterogeneous photocatalysis an overview. 4th SWCC acquired Experience Symposium; 2005; Jeddah, Saudi Arabia.
24. Rodrigues AC, Boroski M, Shimada NS, Garcia JC, Nozaki J, Hioka N. Treatment of paper pulp and paper mill wastewater by coagulation-flocculation followed by heterogeneous photocatalysis. *Journal of Photochemistry and Photobiology A: Chemistry*. 2008;194(1):1-10.
25. Dionysiou DD, Suidan MT, Baudin I, Laîné J-M. Effect of hydrogen peroxide on the destruction of organic contaminants-synergism and inhibition in a continuous-mode photocatalytic reactor. *Applied Catalysis B: Environmental*. 2004;50(4):259-69.
26. Toor AP, Verma A, Jotshi C, Bajpai P, Singh V. Photocatalytic degradation of Direct Yellow 12 dye using UV/TiO₂ in a shallow pond slurry reactor. *Dyes and Pigments*. 2006;68(1):53-60.



Available online: <http://ijhe.tums.ac.ir>

Original Article



Optimization of UV/H₂O₂/TiO₂ process for the treatment of hospital effluent

M Hadi^{1,*}, M Solaimany Aminabad², M Amiri², M Arjipour²

1- Center for Water Quality Research (CWQR), Institute for Environmental Research (IER), Tehran University of Medical Sciences, Tehran, Iran

2- Department of Environmental Health Engineering, Faculty of Health, Kurdistan University of Medical Sciences, Sanandaj, Iran

ARTICLE INFORMATION:

Received: 25 September 2018

Revised: 10 November 2018

Accepted: 13 November 2018

Published: 19 December 2018

ABSTRACT

Background and Objective: Treatment of hospital wastewaters has an important role in reducing the discharge of organics and pharmaceutical compounds into aquatic environments. Nowadays, advanced oxidation processes were extensively used for the removal of organic compounds from treated effluents. The study aimed to examine organic compounds removal from real treated effluent of a hospital treatment plant using a lab scale UV/H₂O₂/TiO₂ process by optimizing the process.

Materials and Methods: The effluent characteristics including COD, TOC and DOC were measured and recorded. A hybrid advanced oxidation process (UV/H₂O₂/TiO₂) was used for the removal of organic compounds. The experiments were designed using surface response methodology (RSM). The effects of the independent factors including pH, duration of UV irradiation, H₂O₂ and TiO₂ concentrations on COD, TOC, DOC and the approximate cost of treatment were assessed by analysis of variance (ANOVA).

Results: The optimal condition was 7.2 for pH, 50 mg/L for H₂O₂, 100 mg/L for TiO₂ and 19.65 min for irradiation time. This condition provided the maximum removal percentage for organic compounds with a minimum cost. The removal efficiency for TOC, DOC and COD were 63.9, 52.9, and 64.7%, respectively. The treatment cost was approximated to be \$ 0.71 per one liter of the effluent.

Conclusion: Irradiation and H₂O₂ concentration had the greatest impact on the cost of the treatment. UV/H₂O₂/TiO₂ process seems to be an expensive process for tertiary treatment of wastewater. However, further investigations are required to evaluate the cost effectiveness of the process for a full scale operation.

Corresponding Author:

hadi_rfm@yahoo.com

Please cite this article as: Hadi M, Solaimany Aminabad M, Amiri M, Arjipour M. Optimization of UV/H₂O₂/TiO₂ process for the treatment of hospital effluent. *Iranian Journal of Health and Environment*. 2018;11(3):293-306.